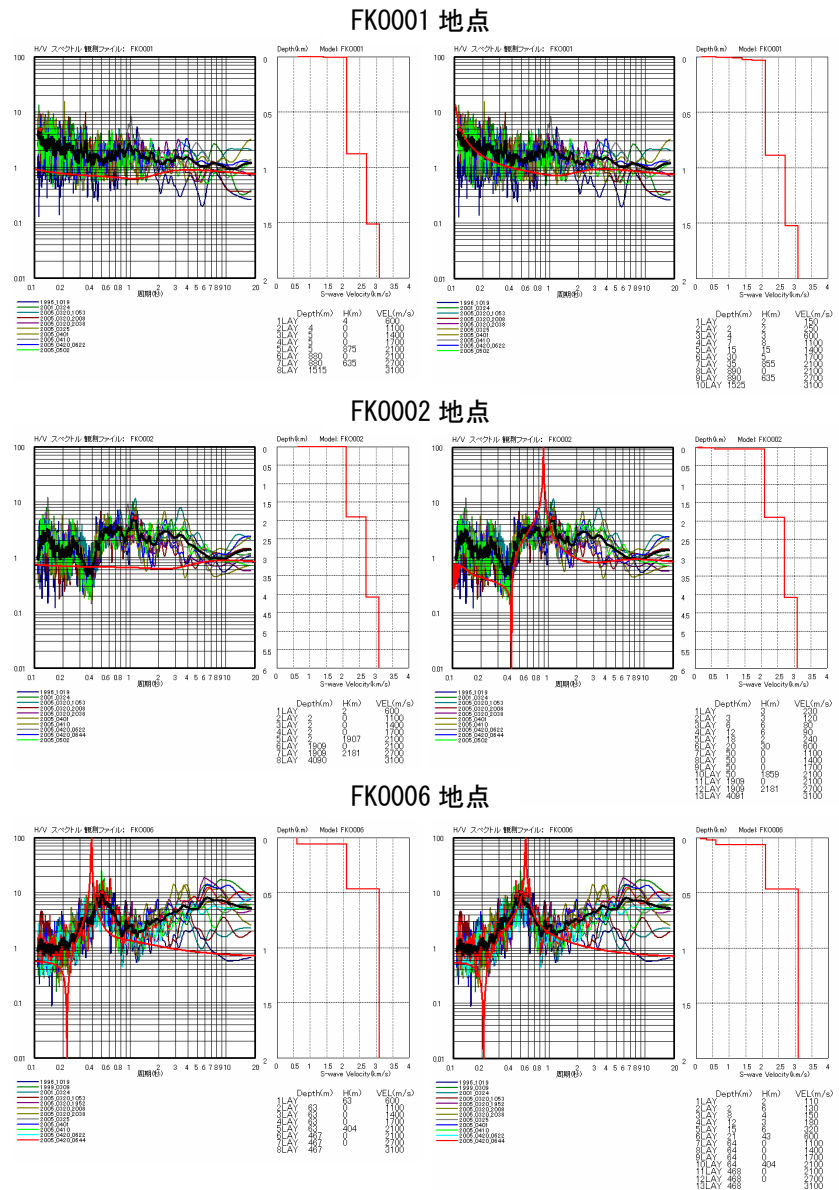


図8 地盤構造モデルの検証を行った観測点

○ : 対象観測点

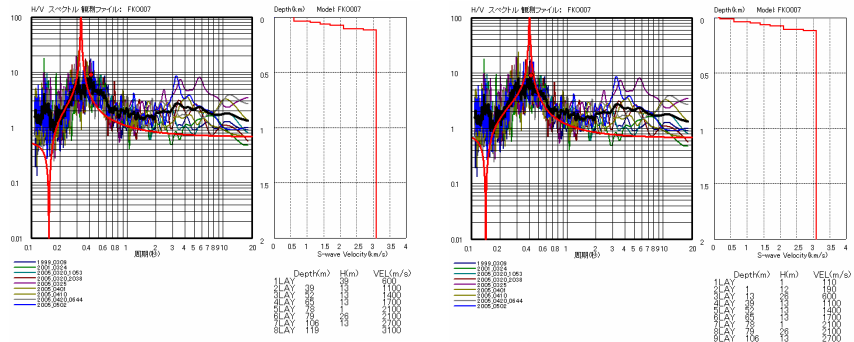
[図は、K-NETのホームページの観測点位置図に加筆]



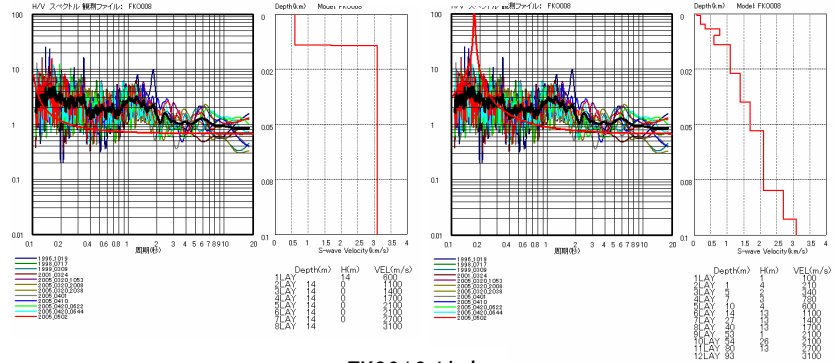
左：初期モデルとの比較 右：修正モデルとの比較

図9-1 観測記録H/Vスペクトルとモデルによる理論H/Vスペクトルの比較 (1)

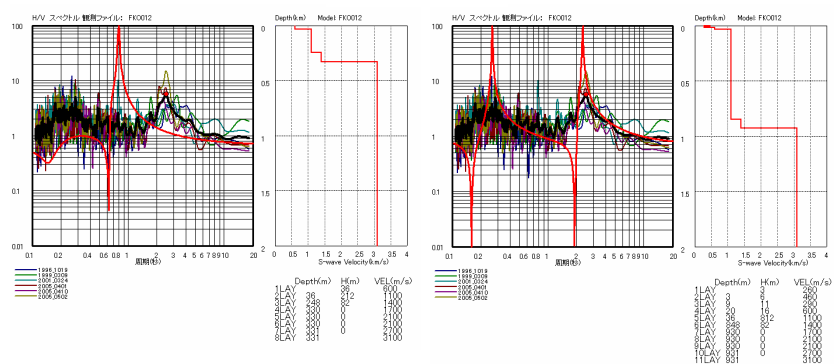
FK0007 地点



FK0008 地点

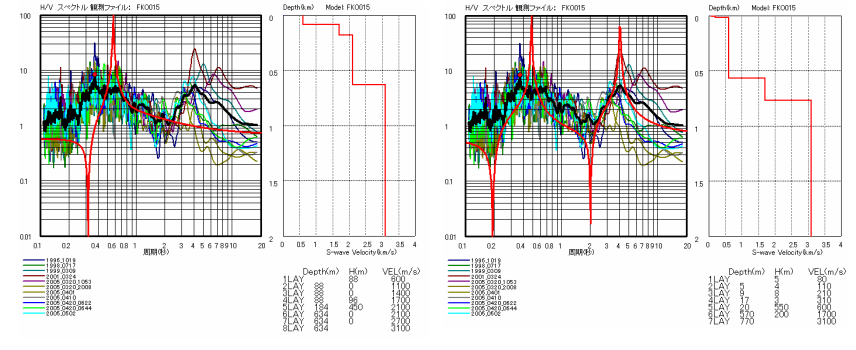


FK0012 地点

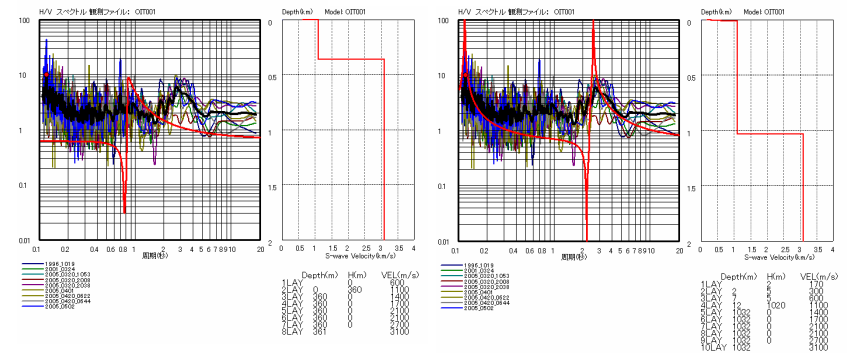


左：初期モデルとの比較 右：修正モデルとの比較  
 図 9-2 観測記録H/Vスペクトルとモデルによる  
 理論H/Vスペクトルの比較 (2)

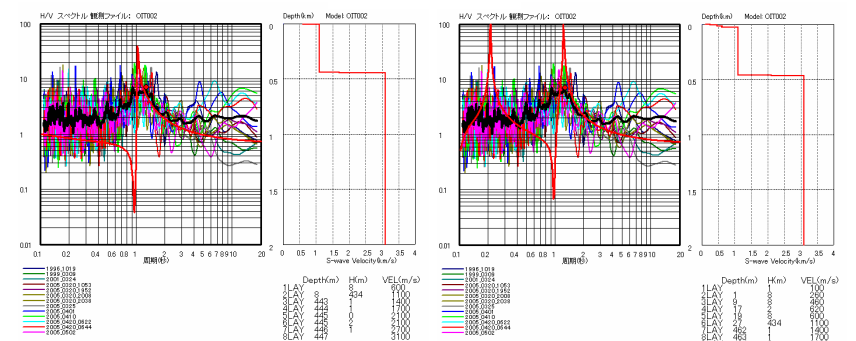
FK0015 地点



OIT001 地点

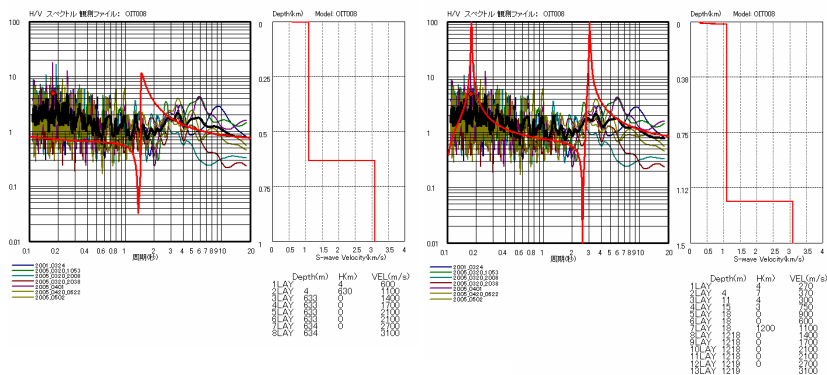


OIT002 地点

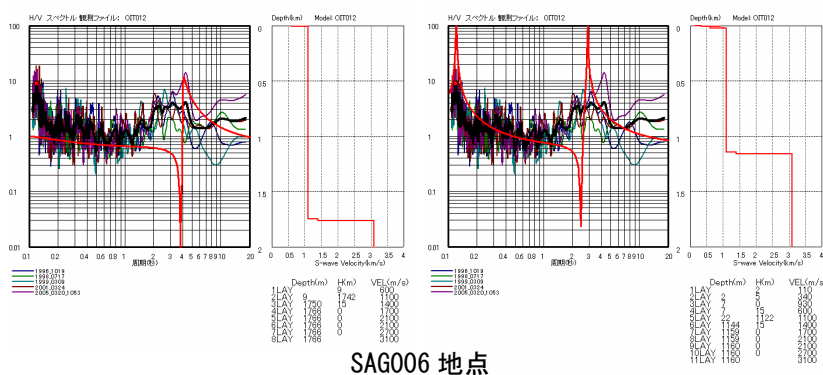


左：初期モデルとの比較 右：修正モデルとの比較  
 図 9-3 観測記録H/Vスペクトルとモデルによる  
 理論H/Vスペクトルの比較 (3)

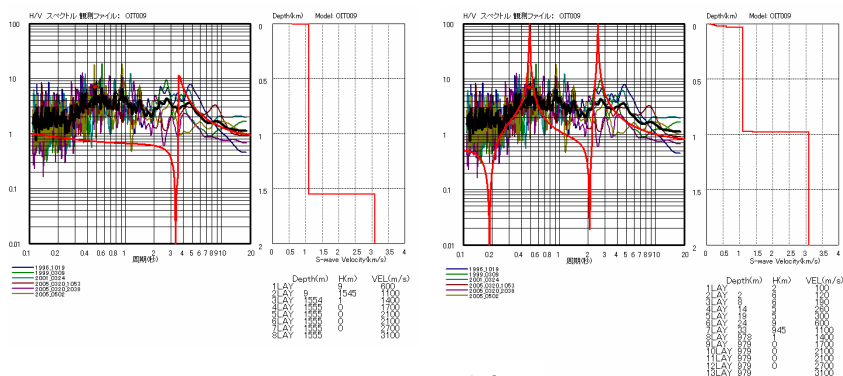
OIT008 地点



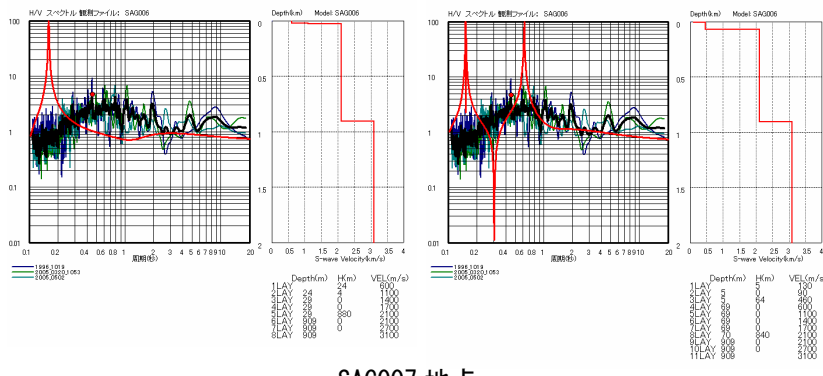
OIT012 地点



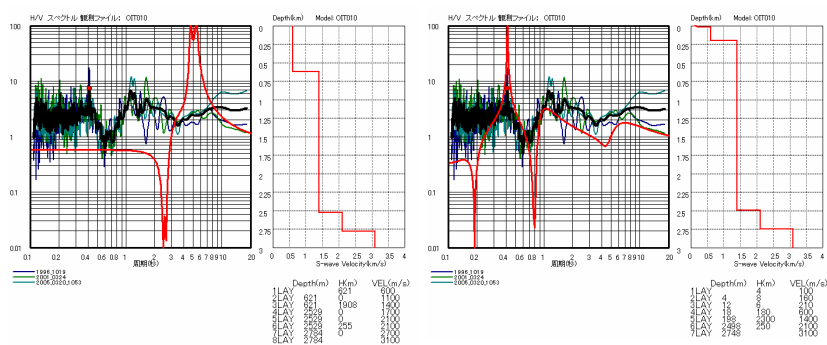
OIT009 地点



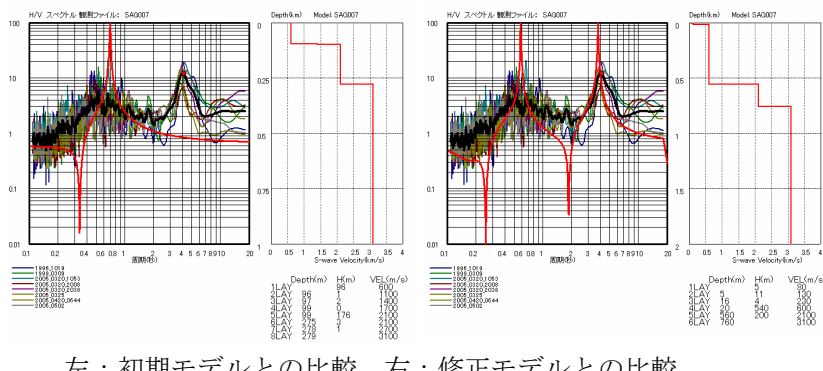
SAG006 地点



OIT010 地点



SAG007 地点



左：初期モデルとの比較 右：修正モデルとの比較

左：初期モデルとの比較 右：修正モデルとの比較

図 9-4 観測記録H/Vスペクトルとモデルによる理論H/Vスペクトルの比較 (4)

図 9-5 観測記録H/Vスペクトルとモデルによる理論H/Vスペクトルの比較 (5)